

日本钢管(株) 京浜製鉄所

○吉岡敬二 豊田剛治 長谷川輝之  
吉沢信雄 平野 稔 石川博章

## 1. 緒言

当社京浜製鉄所では、独自に開発した旋回ランス式転炉法 (LD-CL法)<sup>(1)</sup>で実操業を実施してきたが、60年8月以降上吹き吹鍊法 (NK-CB法)<sup>(2)</sup>を組み入れた新しい転炉吹鍊 (CL-CB法)を開始した。本報告では、高炭素鋼の溶製を中心としたCL-CB法の冶金特性について報告する。

## 2. 吹鍊条件

全生産量の約50%に相当する中高炭素鋼 (製品[C]=0.10~0.50%) の脱P促進を目的として、Table.1に示す吹鍊条件で操業している。なお、溶銑成分・装入塩基度・吹止温度は同一条件で整理した。

## 3. 冶金特性

## 3.1 高炭素域における脱P能

Fig.1にCL-CB法・CB法・CL法・LD法の各々における終点[P]を示す。終点[C]=0.10~0.50%の領域において、CL-CB法の脱P能は、CB法あるいはCL法単独よりも大きい。

また、Fig.2に終点[C]と終点(T.Fe)の相関を示す。高炭素域においては、4種吹鍊法による(T.Fe)にはほとんど差はない。

## 3.2 脱P平衡到達度

Fig.3に修正Healyの式((1)式)によって計算される脱P平衡到達度 $\lambda'$ ((2)式)の比較を示す。

$$\log(L_p)_{cal} = 2.5 \log(T.Fe) + 5.6 \log(CaO) + \frac{22,350}{T} - 21.876 \quad \dots \dots \dots (1)$$

$$\lambda' = \log(L_p)_{obs} / \log(L_p)_{cal} \quad \dots \dots \dots (2)$$

$(L_p)_{cal}$ : 計算P分配,  $(L_p)_{obs}$ : 実績P分配

T: 吹止温度(°K),  $\lambda'$ : 脱P平衡到達度

高炭素域での $\lambda'$ はCL-CB法が最も大きく、低炭になるとつれて1.0に近づく。CL-CB法で $\lambda'$ が大きくなるのは、CB法によるメタル搅拌の効果のみならず、CL法によるスラグ搅拌あるいはメタルスラグ搅拌の強化により、脱P反応が促進したと推定される。

## 4. 結言

旋回ランスに底吹搅拌機能を付加した転炉吹鍊技術を開発し、低炭域での効果のみならず、高炭素鋼における脱Pにおいて両法の相乗効果が發揮できている。

〈参考文献〉(1)河井ら: 鉄と鋼, 68 (1982) A29~A32

(2)田口ら: 鉄と鋼, 68 (1982) S200

Table.1 Blowing Conditions

BOF capacity	250 TON
O <sub>2</sub> gas flow rate	45000 Nm <sup>3</sup> /Hr
Lance height	2600 mm
Circulating pattern	5~8 rpm R=0.5~1.0 m
Bottom gas flow rate	0.01~0.02 Nm <sup>3</sup> /min.t
Bottom gas species	CO <sub>2</sub> ·Ar·N <sub>2</sub>

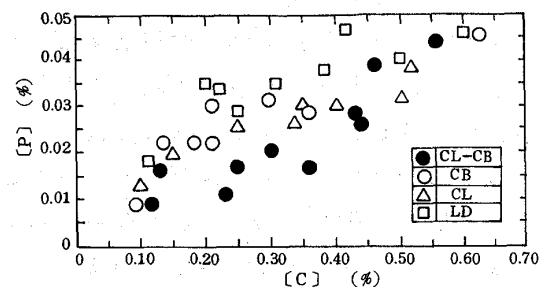


Fig. 1 Relation between [C] and [P] at turndown

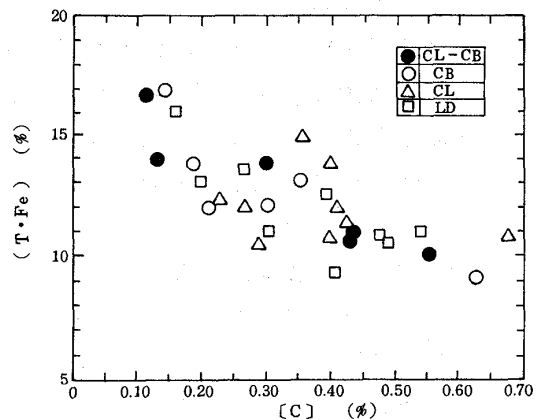


Fig. 2 Relation between [C] and (T.Fe) at turndown

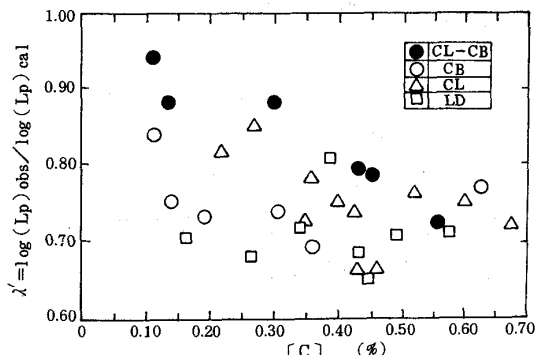


Fig. 3 Comparison of "λ'" at high carbon range